



QUANPIN XUAN KAO FU XI FANG'AN

全品
选考

复习方案

地理

主编：肖德好

沈阳出版发行集团
① 沈阳出版社

作业手册

2026.6

2026.5

2026.4

2026.3

2026.2

2026.1

2025.12

2025.11

2025.10

2025.9

课时通关练

第 1 讲 经纬网与地图	363	第 22 讲 自然环境的地域差异性	424
第 2 讲 等高线地形图	365	真题演练 10	426
真题演练 1	367	第 23 讲 常见的自然灾害及避防	428
第 3 讲 宇宙中的地球	369	第 24 讲 地理信息技术及其应用	430
第 4 讲 地球的自转和公转	371	真题演练 11	432
第 5 讲 昼夜交替与时差	373	第 25 讲 人口分布与人口容量	434
第 6 讲 昼夜长短与正午太阳高度	375	第 26 讲 人口迁移	437
真题演练 2	377	真题演练 12	439
第 7 讲 大气组成、分层与受热过程	379	第 27 讲 乡村和城镇空间结构	441
第 8 讲 大气运动	381	第 28 讲 城镇化与地域文化	444
真题演练 3	383	真题演练 13	446
第 9 讲 气压带、风带与季风环流	385	第 29 讲 农业区位与农业发展	448
第 10 讲 气候类型与自然景觀	387	真题演练 14	450
真题演练 4	389	第 30 讲 工业区位与工业发展	452
第 11 讲 常见天气系统	391	真题演练 15	454
真题演练 5	393	第 31 讲 服务业区位因素及变化	456
第 12 讲 水循环与水量平衡	395	第 32 讲 交通运输布局与区域发展	458
第 13 讲 陆地水体相互关系	397	真题演练 16	460
真题演练 6	400	第 33 讲 中国国家发展战略	462
第 14 讲 海水的性质与运动	402	第 34 讲 区域与区域发展	464
第 15 讲 海—气相互作用及海洋与人类活动	404	第 35 讲 生态脆弱区的综合治理	466
真题演练 7	406	真题演练 17	468
第 16 讲 内力作用与地表形态	408	第 36 讲 资源枯竭型城市的转型发展	470
第 17 讲 外力作用与地貌——河流地貌	410	第 37 讲 城市的辐射功能	472
第 18 讲 外力作用与地貌——其他地貌	412	第 38 讲 地区产业结构变化	474
第 19 讲 地表形态与人类活动	414	真题演练 18	476
真题演练 8	416	第 39 讲 流域内协调发展	478
第 20 讲 植被与土壤	418	第 40 讲 资源跨区域调配	480
第 21 讲 自然环境的整体性	420	第 41 讲 产业转移与国际合作	482
真题演练 9	422	真题演练 19	484

第 42 讲	自然环境的服务功能与自然资源的利用	486
第 43 讲	战略性矿产资源与能源安全	488
第 44 讲	中国的耕地资源与粮食安全	490
真题演练 20		492
第 45 讲	环境污染与国家安全	494
第 46 讲	生态保护与国家安全	496

第 47 讲	全球气候变化与国家安全	499
真题演练 21		501
第 48 讲	世界地理概况	503
第 49 讲	世界地理分区	505
第 50 讲	中国自然与人文地理	507
第 51 讲	中国地理分区	509
真题演练 22		511

特色强化练

图形解读 1	太阳辐射图的判读	513
图形解读 2	等压面图的判读	514
图形解读 3	等温线图的判读	515
图形解读 4	河流流量过程曲线图的判读	516
图形解读 5	地质构造图的判读	517
图形解读 6	垂直自然带谱图的判读	518
图形解读 7	地租曲线图的判读	519
图形解读 8	城乡空间结构演变图的判读	520
图形解读 9	循环经济关联图的判读	521
答题突破 1	地理位置特征的描述	522
答题突破 2	地形地势特征的描述	523
答题突破 3	农业类试题综合分析	524
答题突破 4	工业类试题综合分析	525
答题突破 5	地理事物空间分布特征类试题综合分析	526
答题突破 6	交通类试题综合分析	527
答题突破 7	区域特征的描述类试题综合分析	528
答题突破 8	流域开发和保护类试题综合分析	529

答题突破 9	区域经济发展类试题综合分析	530
答题突破 10	资源安全类试题综合分析	531
答题突破 11	区域生态环境类试题综合分析	533
综合融通 1	地形剖面图与地理图像绘制	534
综合融通 2	天体(天文现象)的观测	535
综合融通 3	太阳视运动问题	536
综合融通 4	不同尺度下的“风”的影响	537
综合融通 5	气候的影响	538
综合融通 6	特殊天气与气象	539
综合融通 7	水资源安全与国家安全	541
综合融通 8	河流阶地与冲淤平衡问题	542
综合融通 9	不同背景下地表形态的形成/演变过程	543
综合融通 10	河一湖一海的相互关系	545
综合融通 11	生物与环境的相互关系	547
综合融通 12	人口结构、人口问题与人口发展	549
综合融通 13	农业产销特征与农业生产技术	550
综合融通 14	中、低产田的治理与高标准农田的建设	551

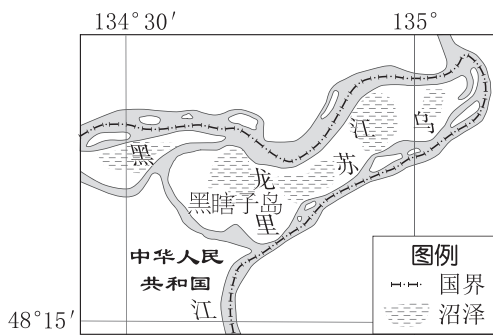
参考答案

第1讲 经纬网与地图

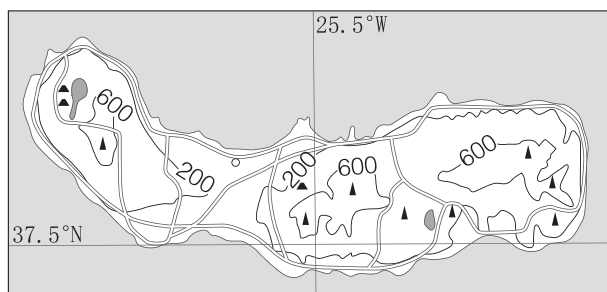
[2024·江西赣州统考] 2023年春节,某国产影片在国内首映后迅速“霸榜”。家住西安(34°N, 108°E)和拉萨(30°N, 91°E)的两位同学分别到影院欣赏了跌宕起伏的精彩情节。他们在观看过程中了解到:某组织总部设在纽约(41°N, 73°W),太空电梯和行星一号发动机均建在利伯维尔(0°, 9.5°E)。(注:材料中出现的城市以下简称“四个城市”)。据此完成1~2题。

- 四个城市中,位于东半球的个数是 ()
A. 1 B. 2
C. 3 D. 4
- 若四个城市各有一架飞机同时以相同的速度沿所在纬线向距离最近的 180°经线飞行,最后到达 180°经线的飞机所出发的城市是 ()
A. 西安 B. 拉萨
C. 纽约 D. 利伯维尔

2023年暑假,河南开封市某班的甲同学和乙同学分别分享了假期旅游所去的两个岛屿。图甲为我国领土最东端的黑瞎子岛位置图,图乙为大西洋亚速尔群岛中最大的岛屿圣米格尔岛位置图。据此完成3~4题。



甲

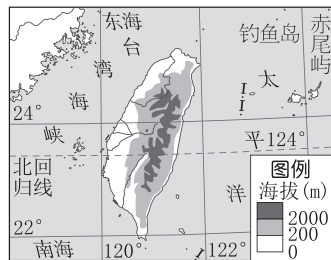
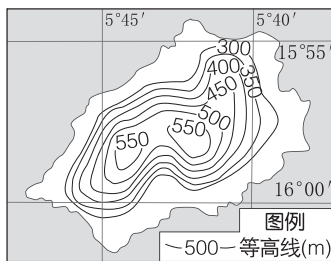


图例 -200-等高线(m) ▲山峰 ▲火山 ●淡水湖 —公路

乙

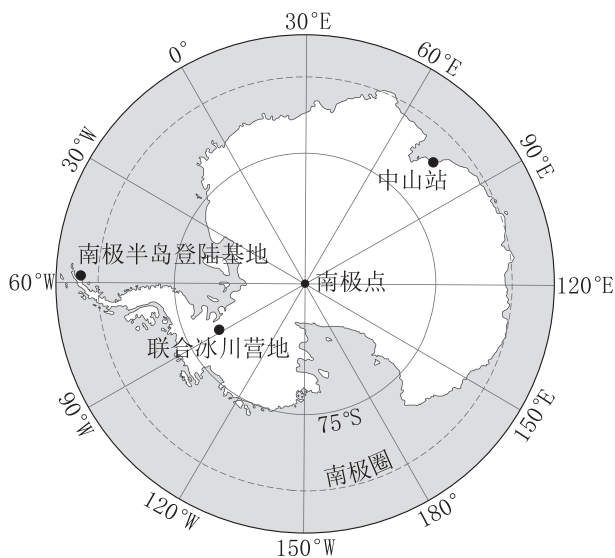
- 黑瞎子岛距北极点约为 ()
A. 2335 千米 B. 4660 千米
C. 7437 千米 D. 14 874 千米
- 圣米格尔岛位于黑瞎子岛的 ()
A. 西北方向 B. 东南方向
C. 东北方向 D. 西南方向

[2024·豫湘名校联考] 台湾岛是我国最大的岛屿。下图为圣赫勒拿岛和台湾岛区域图。据此完成5~6题。



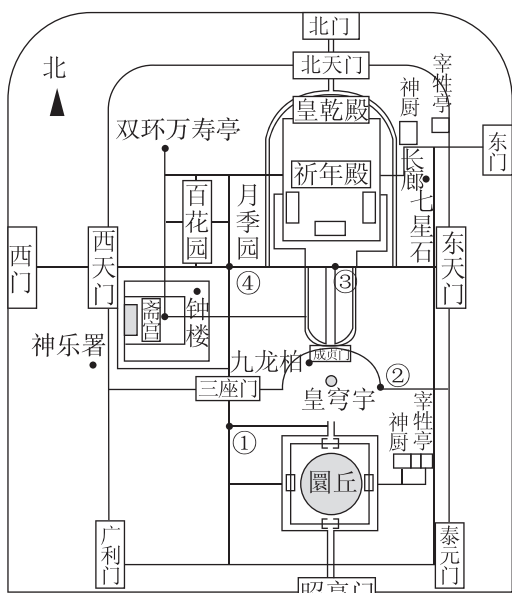
- 圣赫勒拿岛面积最接近 ()
A. 1.2 平方千米 B. 12 平方千米
C. 120 平方千米 D. 1200 平方千米
- 由台湾岛到圣赫勒拿岛最短航线的飞行方向是 ()
A. 一直向东北飞
B. 先东北,后西南
C. 一直向西南飞
D. 先西北,后东南

随着交通的进步,南极旅游也变得越来越热门。某旅行社推出了两条南极旅行线路,第一条线路是先坐飞机到南极大陆的联合冰川营地(79°45'S, 82°30'W),然后飞往南极点,在南极点观赏美景后返回;第二条线路是坐游轮登陆南极半岛,在南极半岛观赏极地风光。下图为南极附近简图。据此完成7~8题。



7. 一架直升机从南极半岛登陆基地出发,飞往南极点,飞机飞行的最短距离最接近 ()
- A. 2000 千米
B. 2140 千米
C. 2221 千米
D. 2664 千米
8. 若某旅行团从南极半岛登陆基地出发,坐游轮顺时针绕南极大陆航行一周,所经过的大洋依次是 ()
- A. 太平洋—印度洋—大西洋
B. 大西洋—印度洋—太平洋
C. 太平洋—大西洋—印度洋
D. 大西洋—太平洋—印度洋

[2024·江苏南通阶段测试] 2023 年暑期研学在国内火爆,很多学校选择了文化古都北京。某学校研学团在天坛公园进行地理实践活动。图甲为天坛公园平面图,图乙为同学们看到的导览指示牌。据此完成 9~11 题。



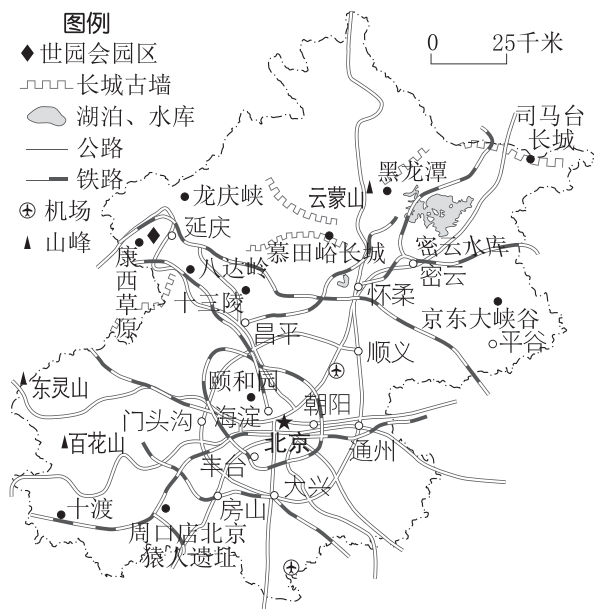
甲



乙

9. 若皇穹宇至皇乾殿的图中直线距离约 3 厘米,则图甲所示公园平面图的比例尺大约为 ()
- A. 1 : 27 000
B. 1 : 54 000
C. 1 : 2700
D. 1 : 5400
10. 图乙所示指示牌的位置大约在图甲中 ()
- A. ①处
B. ②处
C. ③处
D. ④处
11. 黄昏同学们从昭亨门出园时身影在其 ()
- A. 左前方
B. 左后方
C. 右前方
D. 右后方

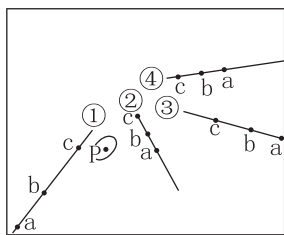
[2025·江西宜春期中] 下图为北京世园会园区地址示意图,北京世园会园区占地 960 公顷。据此完成 12~14 题。



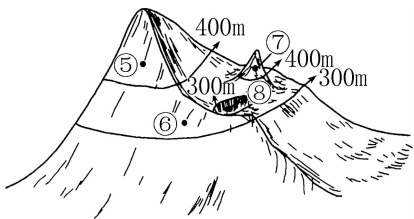
12. 此时有四幅不同比例尺的北京城市交通地图,其中内容最详细的是 ()
- A. 1 : 3 000 000
B. 图上 1 厘米代表实地距离 25 千米
C. 三十万分之一
D. 0 1 2 千米
13. 北京世园会园区距北京市中心的直线距离约为 ()
- A. 25 千米
B. 50 千米
C. 75 千米
D. 100 千米
14. 该图的图例符号不完整,还需要添加的图例符号有 ()
- ①·景点 ②○区政府 ③◎地级市 ④★省政府
- A. ①②
B. ③④
C. ①③
D. ②④

第2讲 等高线地形图

[2024·甘肃平凉模拟] 某学校的地理研学小组外出研学,回来后小明同学绘制了一幅图,图中①②③④表示山脊或山谷,点a、b、c对应的海拔分别为500米、400米、300米。读图完成1~2题。

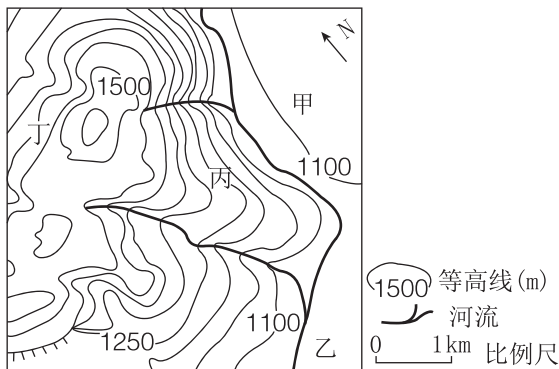


- ①②③④可能发育河流且流速较快的是 ()
A. ① B. ②
C. ③ D. ④
- 如果上图中P点外围闭合曲线的数值是400米,则P点对应的景观素描图中的位置可能是 ()



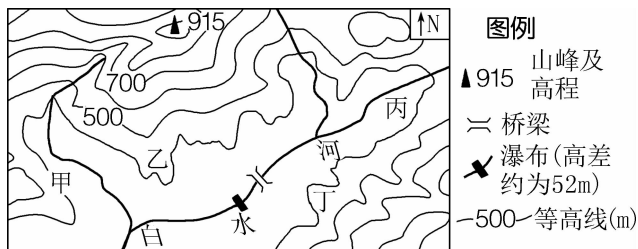
- A. ⑤ B. ⑥ C. ⑦ D. ⑧

[2024·陕西西安一模] 下图为某地(37°N, 108°E)附近等高线地形图。某校学生暑期对该地区进行野外考察活动。据此完成3~4题。



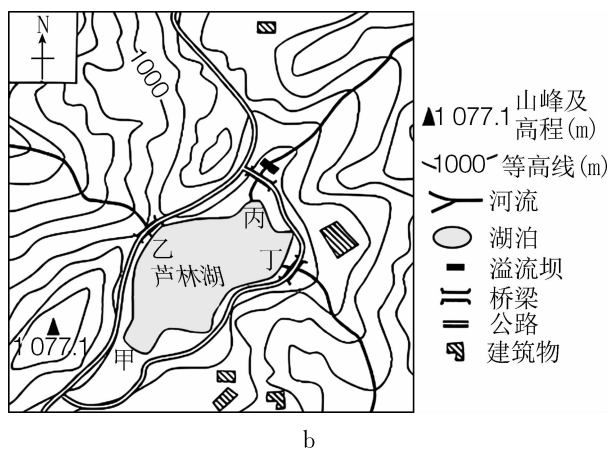
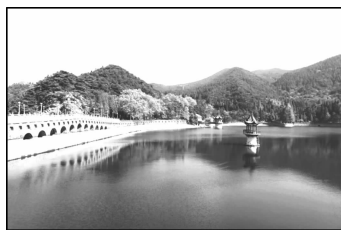
- 图中有一陡崖,其相对高度可能是 ()
A. 50米 B. 149米
C. 200米 D. 250米
- 野外考察期间,下列说法正确的是 ()
A. 甲处农民正引水灌溉小麦
B. 丁处海拔高于丙处,与丙处能通视
C. 乙处日影最短出现在北京时间12:50前
D. 图示河流以高山冰雪融水补给为主

[2024·广东深圳高级中学模拟] 某中学地理研学小组到华北某地进行研学。该地正在打造“太阳山”工程——建设大型山坡集中式光伏电站,下图示意该地等高线分布。据此完成5~7题。



- 研学小组发现大面积集中式光伏发电设备主要分布在 ()
A. 甲 B. 乙 C. 丙 D. 丁
- 图中桥梁与山峰的高差可能是 ()
A. 510米 B. 550米 C. 570米 D. 590米
- 学生通过研学得知 ()
A. 目测山峰海拔约915米
B. 甲地坡面径流流向东南
C. 桥梁是欣赏瀑布的最佳地点
D. 甲地可观测到丁地植被

[2025·湖南长沙雅礼中学月考] 芦林湖是江西庐山风景名胜区内一处著名景点和重要水源地,它是利用原有河谷地形修筑桥坝一体化工程拦蓄来水而成的人工湖(图a)。某研学小组实地调查发现,在该湖东北不远处的谷地里建有一座小型溢流坝,坝体由就地取材的砂、砾石浇筑而成。图b示意芦林湖及周边地形。读图完成8~10题。

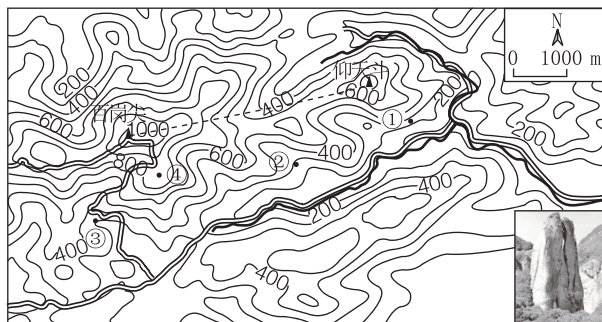


- 图b中湖面与山峰的最大高差可能为 ()
A. 80米 B. 75米 C. 70米 D. 49米
- 湖东北不远处修建小型溢流坝的主要目的是 ()
A. 减缓湖泊萎缩 B. 调节河流水量
C. 筑坝形成湖泊 D. 用于水力发电

10. 图 a 中拦蓄来水成湖的桥坝一体化工程景观位于图 b 中 ()

- A. 甲处附近 B. 乙处附近
C. 丙处附近 D. 丁处附近

[2025·北京通州区期中] 北京市某中学组织学生到浙江省雁荡山进行野外考察, 下图为考察区域的等高线地形及景观图。读图完成 11~13 题。



图例 ▲ 山峰 ~200~ 等高线(m) 河流 道路 · 考察点
① 三折瀑 ② 小龙湫 ③ 剪刀峰 ④ 观音峰

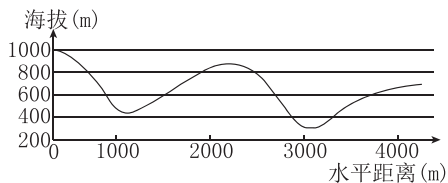
11. 图中 ()

- A. 河流流向先向西再分别转向西北、西南
B. 道路多沿半山腰分布, 以利于徒步行走
C. 考察点①②间的直线距离约 2.1 千米
D. 南北纬度差约为 2° , 东西经度差约为 4°

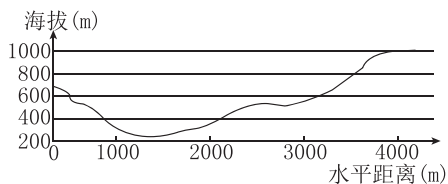
12. 考察点③名为“剪刀峰”, 其主要地貌特征是 ()

- A. 如剪张开, 直指高天 B. 高山深谷, 跌宕起伏
C. 地势平坦, 规模宏大 D. 风力侵蚀, 地表破碎

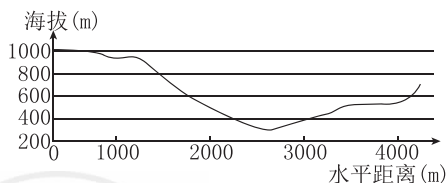
13. 考察组同学绘制了从百岗尖到仰天斗沿线的地形剖面图, 其中正确的是 ()



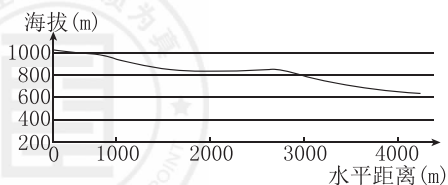
①



②



③

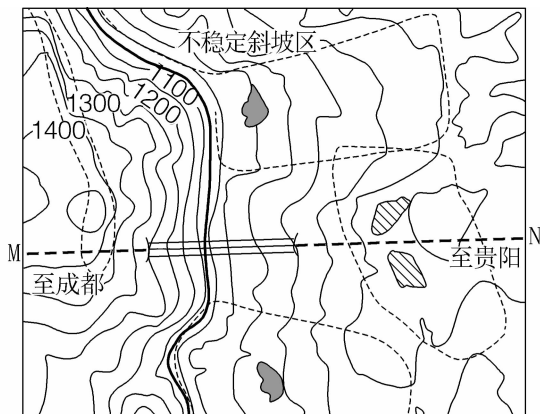


④

- A. ① B. ② C. ③ D. ④

14. (18分)[2024·江西宜春质检] 阅读图文材料, 完成下列要求。

香坝河特大桥是成贵高铁的重点控制工程, 位于云南省镇雄县, 桥区属剥蚀低中山地貌, 桥区跨越香坝河峡谷, 桥址无公路通往。香坝河特大桥桥长 652.2 米, 最高的跨河两桥墩分别高 107 米和 106 米。下图为香坝河特大桥桥位所在区域示意图。



— 香坝河 ~1300~ 等高线(m) 滑坡 煤矿采空区
○ 危岩落石区 香坝河特大桥 高铁线

(1) 描述图示区域的地形地质特点。(4分)

(2) 在下图中绘制沿 MN 线地形垂直剖面, 并计算河面距桥面的高差。(6分)

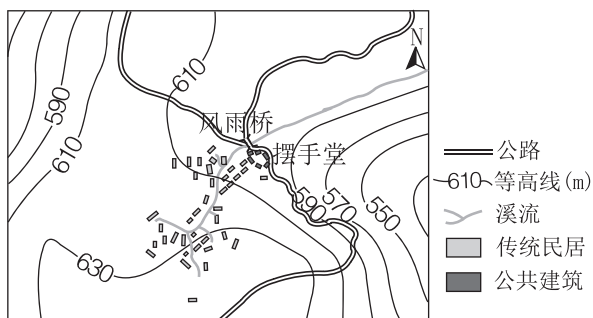


(3) 图示区域高铁线为典型的桥隧结合方式修建, 说明这样修建的优点。(8分)



真题演练 1

[2024·新课标全国卷] 湖南省永顺县双凤村是一个典型的土家族村寨,地处武陵山区腹地。村寨中一条小溪蜿蜒流淌,潺潺水声伴随着弯弯青石板路和依山而建的土家转角吊脚楼,勾勒出一幅土家山寨的美丽画卷,被誉为中国“土家第一村”。图甲示意双凤村的建筑分布,图乙显示在建的转角吊脚楼。据此完成1~2题。



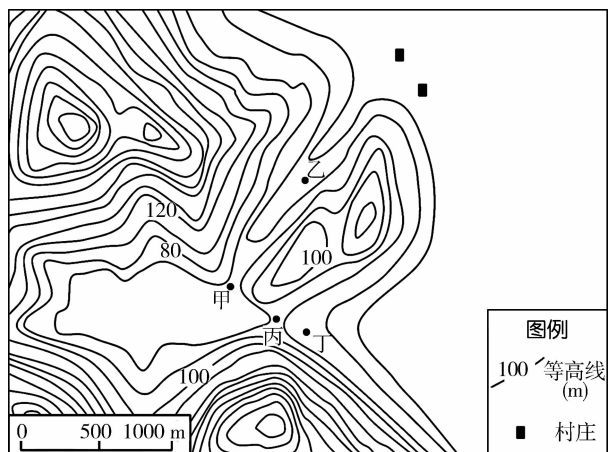
甲



乙

1. 双凤村传统民居的空间分布特点是 ()
 - A. 沿等高线分布
 - B. 沿溪流分布
 - C. 围绕公共建筑分布
 - D. 沿公路分布
2. 双凤村传统民居的转角设计主要是为了 ()
 - A. 适应潮湿环境
 - B. 便于就地取材
 - C. 充分利用空间
 - D. 追求视觉美观

[经典真题·江苏卷] 我国东南沿海某地拟修建一座水位60米的水库。下图为拟建水库附近地形示意图。读图回答3~4题。

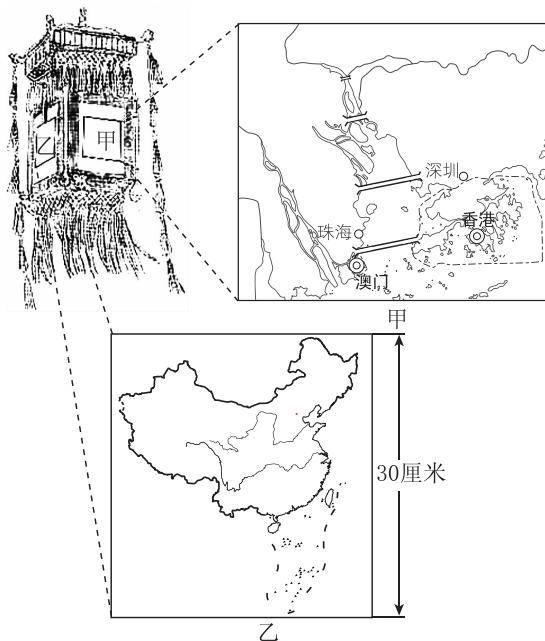


3. 建设成本最低的水库大坝宜建在 ()
 - A. 甲
 - B. 乙
 - C. 丙
 - D. 丁

4. 水库建成后能够 ()

- A. 改善航运条件
- B. 开发河流水能
- C. 增加径流总量
- D. 消除地质灾害

[经典真题·北京卷] 某中学制作主题为“点亮中国”的宫灯。下图为学生手绘的设计图。读图,回答5~6题。



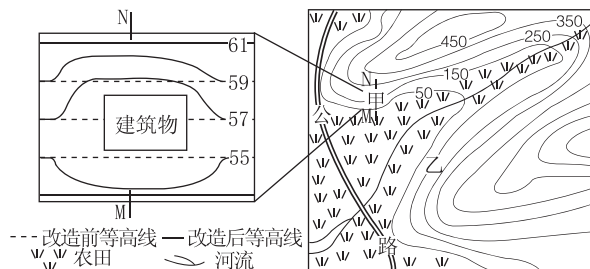
5. 甲面中绘有多座大桥,可以推断所示区域 ()

- A. 建桥成本低
- B. 水运条件缺乏
- C. 交通需求量大
- D. 人口迁移频繁

6. 乙面的中国地图上1厘米代表实地距离约为 ()

- A. 50千米
- B. 200千米
- C. 500千米
- D. 2000千米

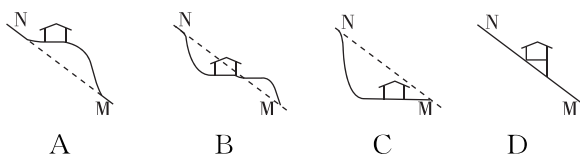
[经典真题·江苏卷] 下图为某地地形与甲地建筑物布局示意图。读图回答7~8题。



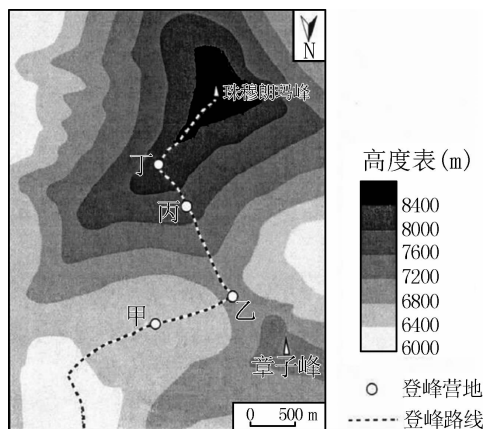
7. 与乙地相比,将建筑物布局在甲地主要考虑的因素是 ()

- A. 地形
- B. 水源
- C. 植被
- D. 坡向

8. 与甲地地形平整方式相符的剖面是 ()



[经典真题·山东卷] 2020年5月27日上午11时整,中国珠峰高程测量登山队将五星红旗插上世界最高峰峰顶,实现了四十五年后我国测绘队员的再次登顶。从位于5200米的大本营向上,队员们要经过甲、乙、丙、丁四个营地(如下图),其中一个营地由于空气流通不畅,容易引起高原反应,被称为“魔鬼营地”。据此完成第9题。



9. 图中“魔鬼营地”是 ()
- A. 甲 B. 乙
- C. 丙 D. 丁

[经典真题·全国卷I] 甘德国际机场(如下图)曾是世界上最繁忙的航空枢纽之一,当时几乎所有横跨北大西洋的航班都要经停该机场补充燃料。如今,横跨北大西洋的航班不再需要经停此地。据此完成10~12题。

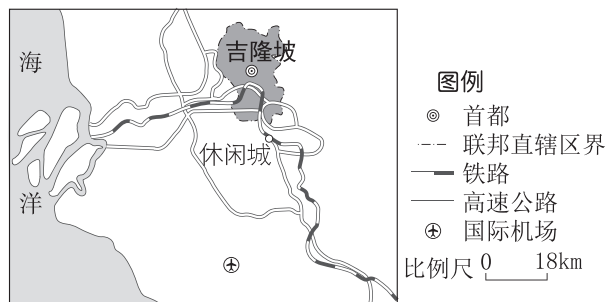


10. 导致甘德国际机场成为世界上最繁忙机场的主要因素是 ()
- A. 位置 B. 经济
- C. 地形 D. 人口
11. 甘德国际机场失去国际航空枢纽地位的主要原因是 ()
- A. 地区经济发展缓慢
- B. 横跨北大西洋航班减少
- C. 飞机飞行成本降低
- D. 飞机制造技术进步

12. 一架从甘德机场起飞的飞机以650千米/时的速度飞行,1小时后该飞机的纬度位置可能为 ()
- A. 66.5°N B. 60°N
- C. 53°N D. 40°N

13. (4分)[经典真题·全国卷III] 阅读图文材料,完成下列要求。

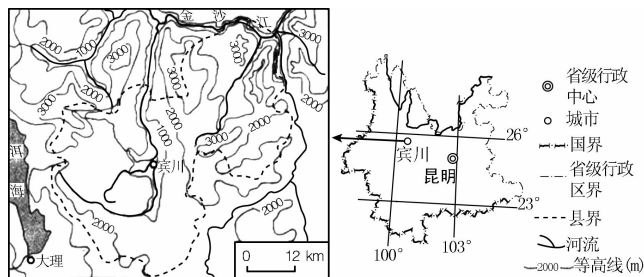
马来西亚曾为世界最大的锡精矿生产国。自1986年开始实施工业化战略,经济持续数年高速增长,迅速进入新兴工业化国家的行列。20世纪80年代,该国锡矿资源枯竭,最大的锡矿坑积水成湖,周边矿场废置。自1990年起,利用该矿坑湖和废置矿场,陆续建起集主题公园、高尔夫俱乐部及球场、酒店和度假村、购物中心和商业城、国际会展中心、高档住宅区等为一体的休闲城。该休闲城成为闻名世界的旅游和休闲中心。下图示意该休闲城的位置。



估算该休闲城至吉隆坡市中心和国际机场的距离,说明其位置优势。

14. (6分)[经典真题·全国卷II] 阅读图文材料,完成下列要求。

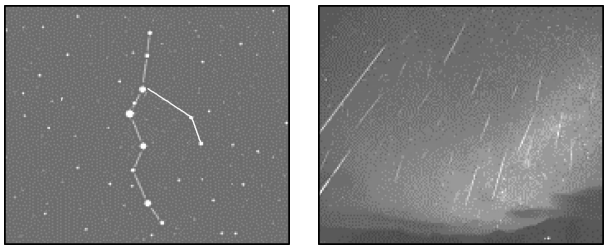
云南省宾川县位于横断山区边缘,高山地区气候凉湿,河谷地区气候干热。下图示意宾川县的地形。



指出宾川县地形的主要特点,并推测耕地分布及数量的特点。

第3讲 宇宙中的地球

[2025·甘肃金昌期中] 英仙座是由亮星排列成一个弯弓形或“人”字形的星座,其流星雨是以英仙座 γ 星附近为辐射点出现的,该流星雨源自轨道周期为约133年的斯威夫特·塔特尔彗星留下的颗粒,每年在7月17日到8月24日期间出现,数量多,是全年三大周期性流星雨之首。下图分别示意英仙座及英仙座流星雨景观。据此完成1~2题。



- 英仙座中勾勒出弯弓形或“人”字形的亮星属于 ()
 - 恒星
 - 行星
 - 卫星
 - 彗星
- 英仙座流星雨每年定期出现的原因最可能是 ()
 - 斯威夫特·塔特尔彗星距太阳较近
 - 地球与斯威夫特·塔特尔彗星相遇
 - 斯威夫特·塔特尔彗星遗留物质少
 - 地球距斯威夫特·塔特尔彗星轨道较近

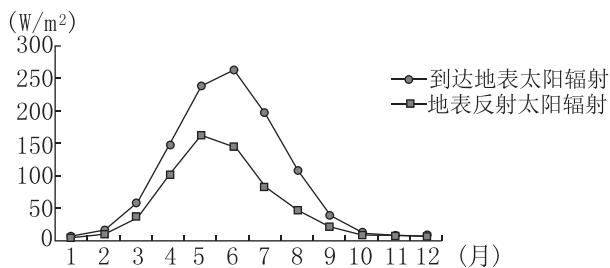
[2025·河南郑州月考] 据媒体报道,在距离地球约4.2光年的比邻星(恒星)的宜居带内运行的一颗行星(比邻星b)可能拥有广阔的海洋,这增加了其支持生命存在的可能性。下表为地球与比邻星b相关信息比较表。据此完成3~4题。

	质量(以地球为参照)	与中心恒星距离	温度、光照	空气、水	公转周期	中心恒星表面温度
地球	1	1.5亿千米	适宜	可观	约365天	6000K左右
比邻星b	1.3	700万千米	适宜	可观	约11.2天	低于3000K

- 下列关于比邻星b支持生命存在条件的推测,最全面的是 ()
 - 适当的质量,离中心恒星适中的距离
 - 适中的公转周期,中心恒星适当的表面温度
 - 适宜的温度,充足的空气和液态水
 - 适当的质量,适中的公转周期

- 关于比邻星的描述,合理的是 ()
 - 比邻星正在不断地进行核聚变反应
 - 比邻星的最主要成分是氦
 - 比邻星是一颗较大的行星
 - 比邻星的主体辐射波长比太阳短

[2024·北京海淀区二模] 下图为北极海冰区域多年平均到达地表太阳辐射和地表反射太阳辐射逐月变化图。读图完成5~6题。



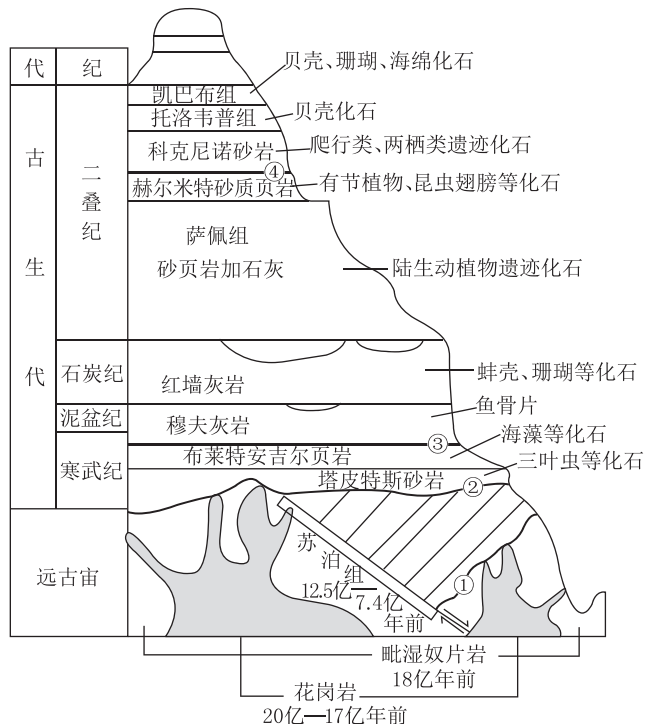
- 下面地表吸收太阳辐射最多的月份为 ()
 - 3月
 - 5月
 - 6月
 - 8月
- 与5月相比,6月地表反射太阳辐射降低的原因最可能是 ()
 - 太阳辐射减弱
 - 白昼变长
 - 云量增多
 - 冰面面积减少

[2025·天津红桥区期中] 中国科学院国家空间科学中心可以提供实时的空间环境数据和未来一定时段的空间环境预报,被称作我国的“太空气象站”。下表示意该中心2022年9月14日发布的过去24小时空间环境综述。据此完成7~8题。

过去24小时空间环境综述
过去24小时,太阳活动低水平。日面上存在6个太阳黑子活动区,产生了多个C级耀斑,太阳风速度下降到300km/s左右,地磁平静,地球同步轨道大于2MeV高能电子日积分通量维持在小高能电子暴水平 发布时间:2022年9月14日0:30UTC 预报员:042/012

- 下列不属于我国“太空气象站”监测内容的是 ()
 - 太阳黑子数量与位置
 - 太阳耀斑的大小与级别
 - 太阳风的速度与影响
 - 地球同步轨道卫星的运行
- 太阳活动强烈可能产生的明显影响不包括 ()
 - 短波通信中断
 - 信鸽丢失
 - 指南针失灵
 - 地球公转速度的变化

[2024·湖南永州二模] 地壳运动使得上、下两套沉积岩地层之间往往出现明显的沉积间断,有一段时期没有沉积,这称为不整合接触,两套地层之间的界面称为不整合面。下图为科罗拉多大峡谷地层剖面示意图。据此完成9~11题。



9. 下列属于不整合面的是 ()

- A. ①② B. ②③ C. ③④ D. ①④

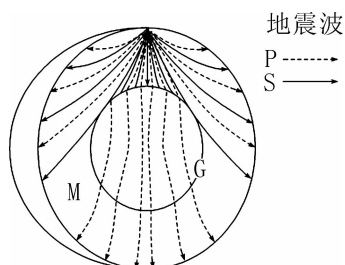
10. 该区域从寒武纪至二叠纪的海陆变迁过程中 ()

- A. 二叠纪早期为海洋环境
B. 二叠纪晚期为陆地环境
C. 寒武纪为海洋环境
D. 石炭纪为陆地环境

11. 有关科罗拉多大峡谷地质演化史的说法,正确的是 ()

- A. 泥盆纪沉积环境最稳定
B. 地震频繁
C. 地层多次升降
D. 石炭纪后沉积不连续

[2024·辽宁沈阳模拟] 北京时间2020年7月12日6时38分,河北唐山市古冶区发生5.1级地震,震源深度10千米。我国的地震预警系统成功预警了本次地震。下图是地震波在地球内部的传播路径示意图。据此完成12~13题。



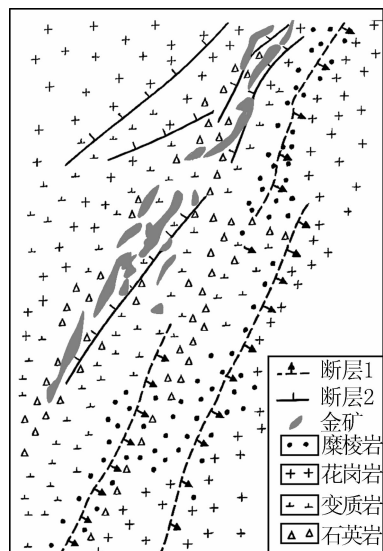
12. 据图判断 ()

- A. 圈层M为地壳
B. 界面G为古登堡界面
C. 地震波P为横波
D. 地震波S为纵波

13. 地震预警系统能成功预警本次地震,利用了 ()

- A. 震源距预警中心的距离
B. 建筑物的抗震系数
C. 横波和纵波传播介质的差异
D. 横波和纵波传播速度的差异

糜棱岩是强烈破碎塑变作用所形成的岩石,往往分布在断裂带两侧,由于压扭应力的作用,岩石发生错动,研磨粉碎,并由于强烈的塑性变形,细小的碎粒处在塑性流变状态下而呈定向排列。糜棱岩的分布往往对金、银矿床的形成有一定指示作用。下图示意我国河北某金矿区岩石分布状况,图中断层1形成时间为太古宙,断层2形成时间为晚三叠纪—侏罗纪,研究发现,金矿是断层2形成过程中产生的。据此完成14~16题。



14. 糜棱岩可能有的特征是 ()

- A. 颗粒小,有条带状纹理
B. 质地坚硬,多气孔构造
C. 具层理构造,含有化石
D. 质地疏松,透水性较强

15. 图中断层2形成时 ()

- A. 全球海洋陆地形成
B. 联合古陆开始解体
C. 青藏高原已经隆起
D. 阿尔卑斯山脉形成

16. 图中金矿区金的来源最可能是 ()

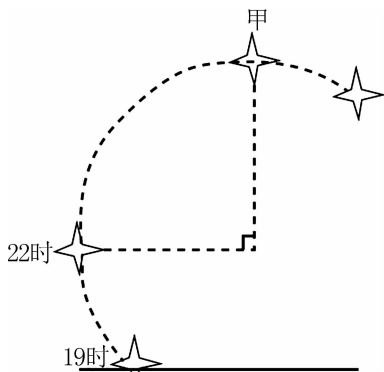
- A. 地表沉积物 B. 岩石圈
C. 软流层 D. 下地幔

第4讲 地球的自转和公转

[2025·江苏盐城月考] 南京市(32°N)某天文爱好者于某日 21 时用天文望远镜对准北极星附近的某颗恒星进行了观测。据此完成 1~3 题。

- 若保持望远镜位置和方向不变,第二日望远镜再次对准这颗恒星的时间大约为 ()
 - 21 时 3 分 56 秒
 - 21 时 56 分 4 秒
 - 20 时 56 分 4 秒
 - 20 时 3 分 56 秒
- 该观测者在观测北极星附近星空时,将望远镜指向 ()
 - 东方
 - 南方
 - 北方
 - 西方
- 为了提高观测效果,该观测者应将望远镜的倾角调整为 ()
 - 25°左右
 - 32°左右
 - 28°左右
 - 38°左右

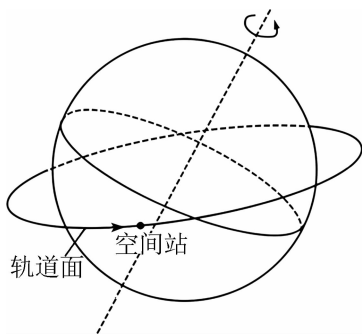
[2024·河北邢台期末] 小亮同学 3 月 1 日在澳大利亚乌卢鲁地区(25°S,131°E)拍摄恒星系南门二。下图示意 3 月 1 日夜晚至次日不同时刻南门二的位置。由于恒星日和太阳日的差别,每天相同时刻,星体出现的位置会有微小偏移。南半球恒星视运动方向呈顺时针旋转。据此完成 4~5 题。



- 小亮同学此次观测到南门二出现在甲点的时间约是 ()
 - 2 时
 - 4 时
 - 16 时
 - 18 时
- 半年后,小亮同学无法在甲点观测到南门二,主要是因为 ()
 - 地球公转轨道为正圆形
 - 太阳直射点经度改变
 - 南门二在甲点时正值白昼
 - 南门二位置明显移动

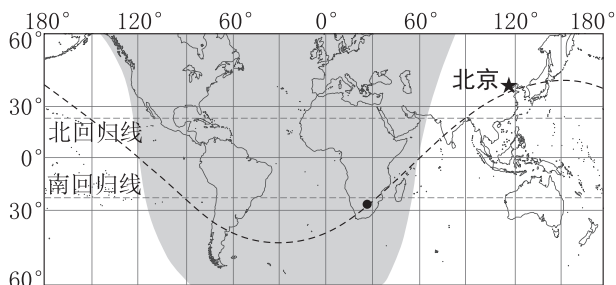
[2025·安徽蚌埠月考] 2023 年 5 月 30 日 9 时 31 分,搭载“神舟十六号”载人飞船的“长征二号 F 遥

十六”运载火箭在酒泉卫星发射中心发射升空,航天员乘组状态良好,发射取得圆满成功。下图为“天宫”空间站绕地轨道及方向示意图。据此完成 6~7 题。



- 决定我国火箭向东发射的主要原因是 ()
 - 地形地势
 - 地球自转
 - 海陆位置
 - 大气环流
- 在“天宫”空间站 24 小时内大致可看到 16 次日出、日落,其原因是 ()
 - 空间站公转速度快于地球自转速度
 - 空间站对太阳升、落的折射现象
 - 空间站公转速度慢于地球公转速度
 - 空间站公转方向与地球自转相反

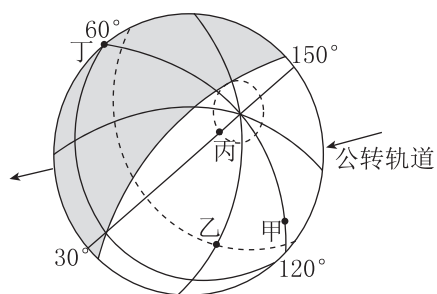
[2024·广东四校联考] 2022 年 10 月 31 日,我国“梦天”实验舱发射成功,随后我国自主研发的“天宫”空间站组合完成。“天宫”空间站在离地面 400~450 千米的轨道上运行,大约每 90 分钟环绕地球一周。下图示意某时刻“天宫”空间站位置及运行轨迹,图中阴影表示黑夜。据此完成 8~9 题。



图例 ● “天宫”空间站位置 ---- 空间站运行轨迹

- 空间站轨道平面与赤道平面的夹角最接近 ()
 - 40°
 - 30°
 - 20°
 - 60°
- 与地表赤道某点相比,“天宫”空间站 ()
 - 角速度小,线速度小
 - 角速度大,线速度小
 - 角速度小,线速度大
 - 角速度大,线速度大

[2025·安徽安庆月考] 下图为地球在黄道面上的某日位置图,阴影表示夜半球,数值为经度。读图完成 10~11 题。



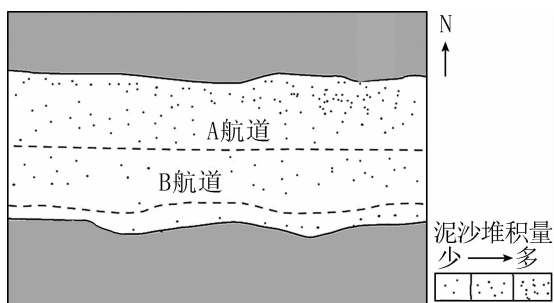
10. 若图中箭头方向相反,则该日所示节气为北半球的 ()

- A. 春分 B. 夏至
C. 秋分 D. 冬至

11. 依据图示信息,下列说法正确的是 ()

- A. 甲、乙、丙、丁自转速度相同
B. 该日后地球逐渐向远日点移动
C. 丁地向东水平运动的物体向北偏
D. 该日后甲地正午日影渐短

内河航运船舶航道的区位选择要根据水流的速度、泥沙沉积的实际情况而定,应尽可能实现节省能源、降低运费成本等效益最大化。下图为某河流航运图。据此完成 12~13 题。



12. 假如河流自东向西流,那么该河流位于 ()

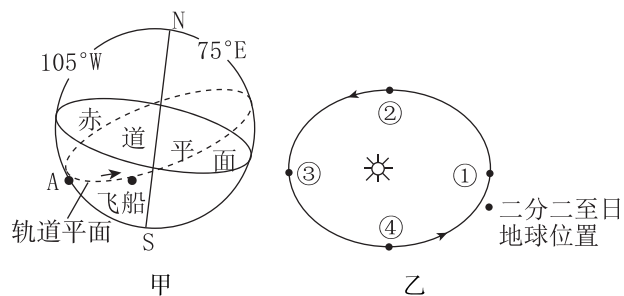
- A. 北半球 B. 南半球
C. 东半球 D. 西半球

13. 如果船舶在此河流通航,要想安全航行,则应该 ()

- A. 靠近 A 航道
B. 靠近 B 航道
C. 任意航行,不受任何影响
D. 任何船舶都不可以在此河流航行

[2025·黑龙江哈尔滨月考] 2023 年 5 月 30 日,“神舟十六号”载人飞船搭载“长征二号 F 遥十六”运载火箭成功发射升空,顺利将 3 名航天员送入太空,飞船绕地飞行轨道面与地球赤道面的夹角为

$42^{\circ}24'$,绕地球一圈大约需要 90 分钟。下图为“神舟十六号”载人飞船绕地轨道及方向示意图(图甲)和二分二至日地球位置示意图(图乙)。据此完成 14~15 题。



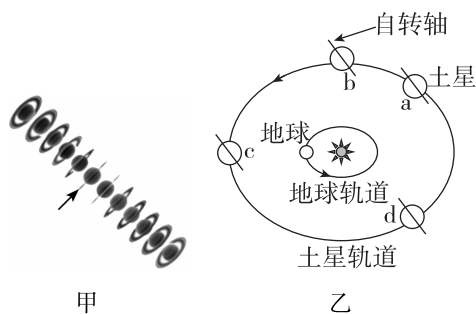
14. 图甲中 A 点为飞船第一次到达最南位置,当飞船第二次到达最南位置时,其地面对应点的地理坐标大约是 ()

- A. ($42^{\circ}24'N, 105^{\circ}E$)
B. ($42^{\circ}24'N, 105^{\circ}W$)
C. ($42^{\circ}24'S, 82^{\circ}30'W$)
D. ($42^{\circ}24'S, 127^{\circ}30'W$)

15. 飞船发射时,地球在公转轨道中的位置最接近图乙中的 ()

- A. ①位置 B. ②位置
C. ③位置 D. ④位置

土星的自转轨道面与公转轨道面和地球一样存在着“黄赤交角”,角度约为 26.7° ,土星环位于土星赤道上空,宽 20 万千米,厚度仅为 30 米。随着土星轨道位置的变化,从地球观测土星环的形状会有所不同,如图甲所示。地球与土星公转轨道如图乙所示。据此完成 16~17 题。



16. 若从地球上看到土星环如图甲中箭头所指,则土星位于图乙中 ()

- A. a 点 B. b 点
C. c 点 D. d 点

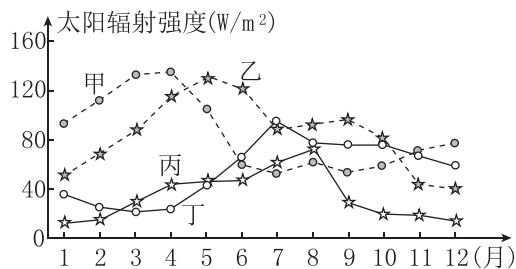
17. 若黎明时分,地球上观测到土星从东侧的天空升起,则土星位于 ()

- A. a 点 B. b 点
C. c 点 D. d 点



图形解读 1 太阳辐射图的判读

[2025·河北邢台质检] 研究发现,1998 年至今,广州市年太阳直接辐射量呈增加趋势。下图为北京、昆明、广州、成都四地太阳辐射强度年变化示意图。据此完成 1~2 题。



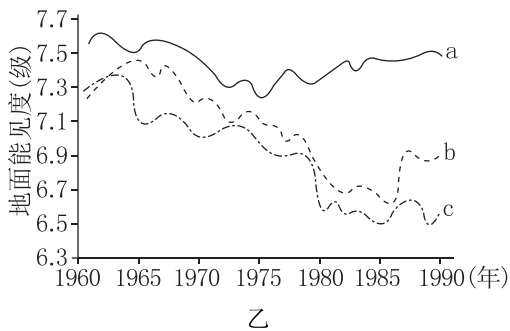
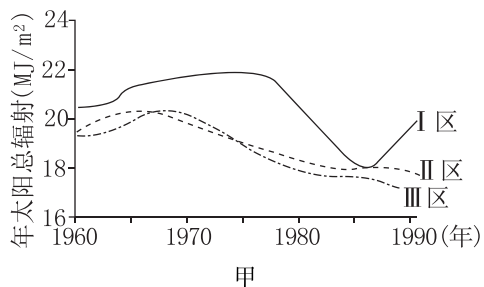
1. 图中曲线表示广州太阳辐射强度年变化的是 ()

- A. 甲 B. 乙 C. 丙 D. 丁

2. 图示四城市中,丙城市太阳总辐射量最低的主要原因是 ()

- A. 雨雾天气最多 B. 大气污染最严重
C. 海拔最低 D. 纬度最高

[2025·山东潍坊月考] 1961—1990 年,我国大部分地区年太阳总辐射呈减少趋势,其中 I 区——青海、甘肃, II 区——四川、贵州, III 区——长江中下游地区下降趋势最明显。图甲示意 30 年间三个地区年太阳总辐射平均日变化,图乙示意三个地区地面能见度年变化趋势(每日 14 时统计)。据此完成 3~4 题。



3. 图乙中 a、b、c 三条曲线最可能分别对应 ()

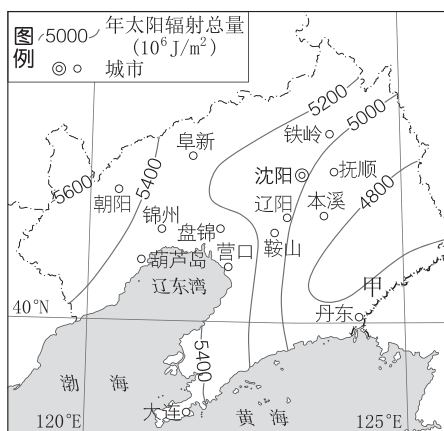
- A. I 区、II 区、III 区
B. II 区、I 区、III 区
C. III 区、I 区、II 区
D. I 区、III 区、II 区

4. 影响 I 区、III 区年太阳总辐射量差异的主要因素是 ()

- A. 纬度位置 B. 海拔高低
C. 地表植被 D. 积雪状况

5. (8 分) 阅读图文材料,完成下列问题。

太阳辐射能是地球大气运动的主要动力,太阳直接为地球提供了光热资源。受诸多因素的影响,到达不同地区的太阳辐射的多少各有不同。辽宁省是我国太阳辐射能开发利用较早的省级行政区之一,近年来,辽宁省许多大型企业加大对太阳能资源开发和光伏发电的投资力度,并取得了良好的效益。下图为辽宁省年太阳辐射总量空间分布图。



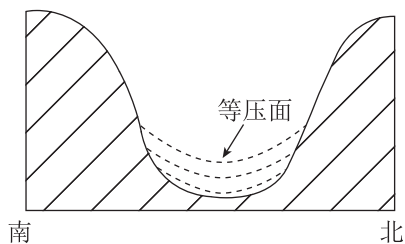
(1) 分别指出辽宁省东部和西部地区年太阳辐射总量的分布特点。(4 分)

(2) 说明甲地区年太阳辐射总量较低的主要原因。(4 分)



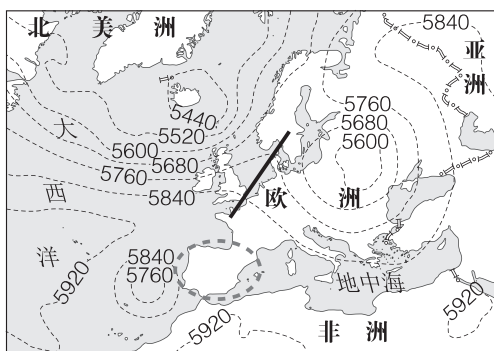
图形解读 2 等压面图的判读

甘肃省兰州市位于黄河河谷之中,周围群山环抱,城市小气候受热岛环流和山谷风影响显著。兰州市某高中学生小明根据多日观测,沿南北方向绘制了T时刻谷地兰州附近大气的等压面示意图(下图)。据此完成1~2题。



1. 在该时刻的局地环流影响下 ()
 - A. 谷地中央为上升气流,风从山谷吹向山顶
 - B. 谷地中央为上升气流,风从山顶吹向山谷
 - C. 谷地中央为下沉气流,风从山谷吹向山顶
 - D. 谷地中央为下沉气流,风从山顶吹向山谷
2. 受城市热岛效应影响,兰州市 ()
 - A. 谷风增强,山风减弱
 - B. 谷风减弱,山风增强
 - C. 谷风减弱,山风减弱
 - D. 谷风增强,山风增强

2022年夏季,北半球出现了持续异常高温,测量到欧洲多地气温接近,甚至与北非相同。分析表明,该现象与副热带高压带的势力和位置有直接关联。下图为2022年7月12日欧洲500百帕等压面海拔高度图。据此回答3~5题。

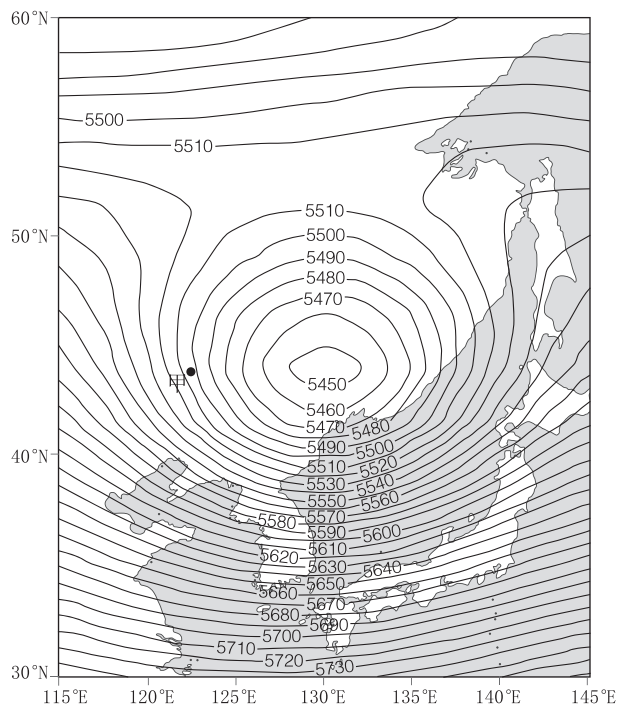


图例--5760~500hPa等压面海拔高度(m)

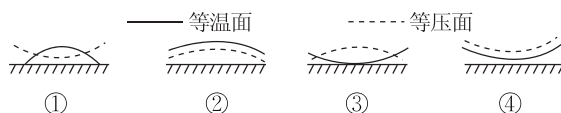
3. 与“副热带高压盛行下沉气流导致升温”原理一致的现象是 ()
 - A. 纬度越低,气温越高
 - B. 距暖流越近,气温越高
 - C. 山体背风坡出现的焚风
 - D. 同纬度下,海拔越低,气温越高
4. 图中画粗黑线位置的高空气压状况是 ()
 - A. 位于低压槽线
 - B. 位于高压脊线
 - C. 位于低压中心
 - D. 位于高压中心

5. 在强盛副热带高压的影响下,伊比利亚半岛(图中画粗虚线圈位置)出现了高温干旱天气。下列可能会加剧高温干旱现象的是 ()
 - A. 北大西洋暖流挟带的暖湿气流
 - B. 撒哈拉沙漠吹送出的干热气流
 - C. 阿尔卑斯山背风坡的焚风
 - D. 海陆热力差异导致的升温

东北冷涡是亚洲东部重要的天气系统之一,属于高空冷性涡旋系统,对我国东北、华北甚至江淮及以南地区的气候异常具有重要影响,同时与东亚季风强弱有较强关联。研究表明东北冷涡强度与西太平洋、中国南海、孟加拉湾、北印度洋气温呈负相关。下图为某次东北冷涡活动时500百帕等压面高度分布示意图(单位:米)。据此完成6~8题。



6. 此刻,近地面甲地盛行 ()
 - A. 东北风
 - B. 西北风
 - C. 东南风
 - D. 西南风
7. 冷涡中心附近低层大气等温面、等压面垂向分布特征最接近 ()



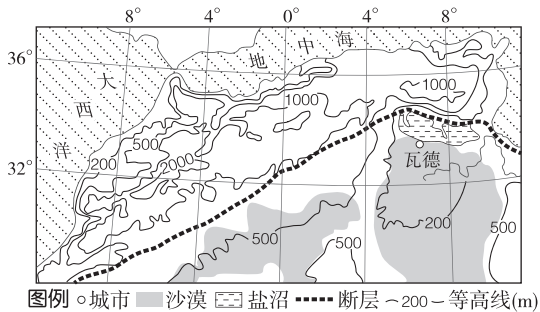
- A. ①
 - B. ②
 - C. ③
 - D. ④
8. 东北冷涡强的年份 ()
 - A. 江淮梅雨季降水减少
 - B. 华北低温冻害较轻
 - C. 东亚夏季风势力偏弱
 - D. 副热带高压势力弱



答题突破 1 地理位置特征的描述

1. (6分)[2025·安徽六安月考] 阅读图文材料,完成下列要求。

古代阿拉伯人把今突尼斯、阿尔及利亚和摩洛哥所在地区统称为马格里布地区。下图为马格里布地区示意图。



描述马格里布地区的地理位置及其优越性。

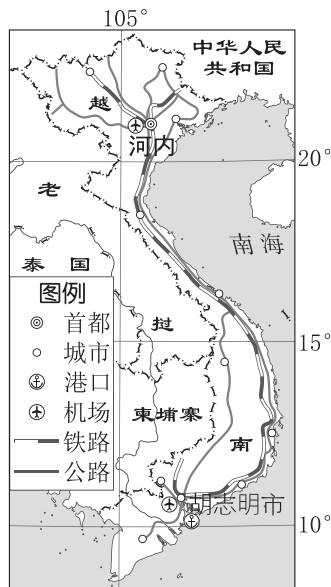
2. (6分)[2024·湖北宜荆荆随恩重点高中教科研协作体联考] 阅读图文材料,回答问题。

广西北部湾经济区(如下图)位于中国沿海西南端,由南宁、北海、钦州、防城港、玉林、崇左所辖行政区域组成,是我国第一个国际区域合作区。2021年4月,习近平总书记视察广西时要求“大力发展向海经济”,建设现代化产业体系。海工装备是人类开发、利用和保护海洋活动中使用的各类装备的总称,是海洋产业体系的核心环节。近年来,为践行高质量发展理念,北部湾经济区大力推动海工装备产业发展。



从地理位置的角度分析北部湾经济区“大力发展向海经济”的区位优势。

3. (10分)[2024·北京东城区一模] 越南是东南亚重要国家。读图回答下列问题。

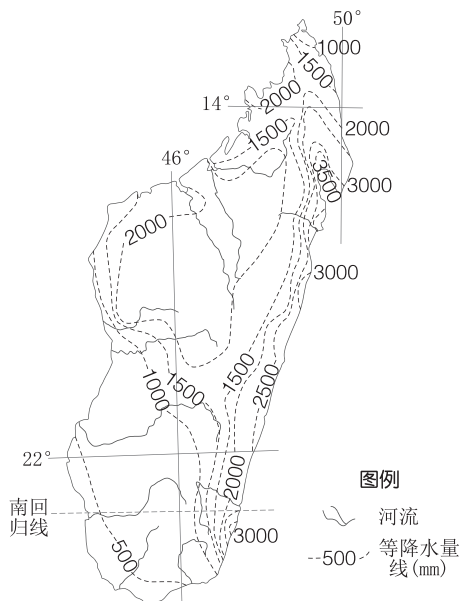


评价地理位置对越南经济发展的影响。



答题突破 2 地形地势特征的描述

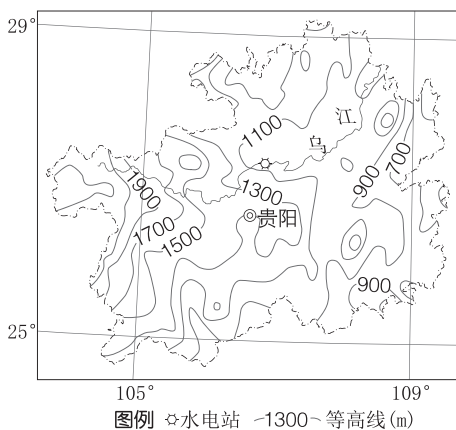
1. (14分)[2024·北京海淀区二模] 下图为马达加斯加岛年降水量分布图。读图回答问题。



据图推断马达加斯加岛的地形特征,并说明判断依据。

2. (14分)[2025·广东深圳月考] 阅读图文材料,完成下列要求。

贵州位于我国地势阶梯的过渡地带,石灰岩广布,石漠化现象较严重。下图为贵州省等高线地形图。

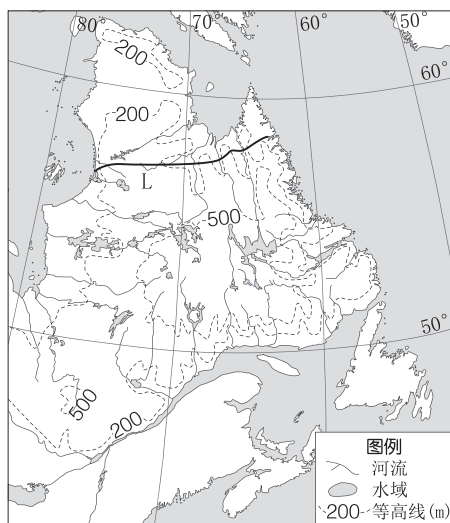


(1)描述贵州省的地形地势特征。(4分)

(2)分析地形地势特征对贵州气候、河流的影响。(10分)

3. (10分)阅读图文材料,完成下列要求。

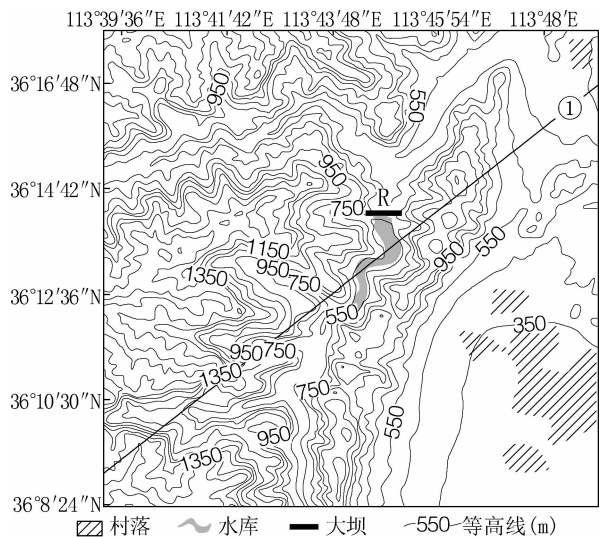
拉布拉多半岛是北美洲最大的半岛,位于美洲大陆最东端,是前寒武纪时期古陆地的一部分。在第四纪冰川时期,拉布拉多半岛上冰川广布。现在拉布拉多半岛地表起伏较小,海拔不高,大部分地区年降水量在400毫米以上,半岛自然带的纬度地带性分异明显,线段L以北为苔原带,以南为亚寒带针叶林带。下图为拉布拉多半岛地理位置示意图。



判断拉布拉多半岛的主要地形类型,并说明判断的理由。



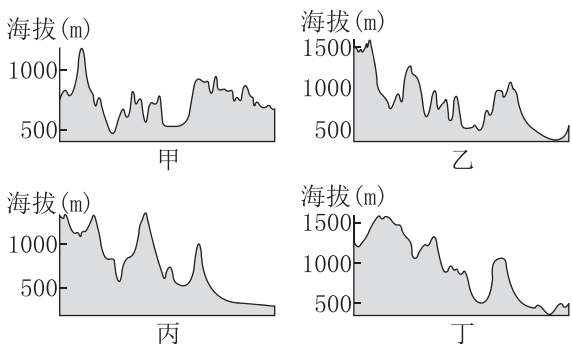
[2025·江苏盐城月考] 下图为河南省北部某地区地形图,图中等高距为100米,粗黑线为剖面线。据此完成1~3题。



1. 在图中R处修建大坝的益处主要是 ()

- A. 工程量小
- B. 泄洪量大
- C. 淹没面积小
- D. 水质优良

2. 图中①剖面线与下面四个地形剖面图相一致的是 ()

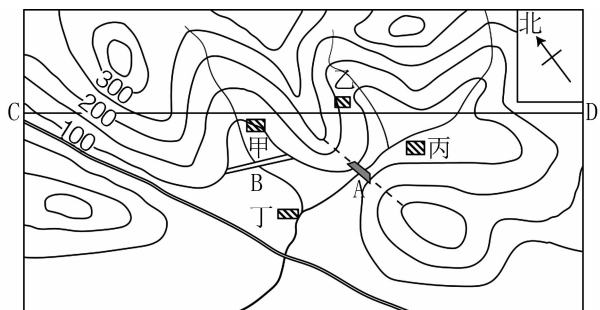


- A. 甲
- B. 乙
- C. 丙
- D. 丁

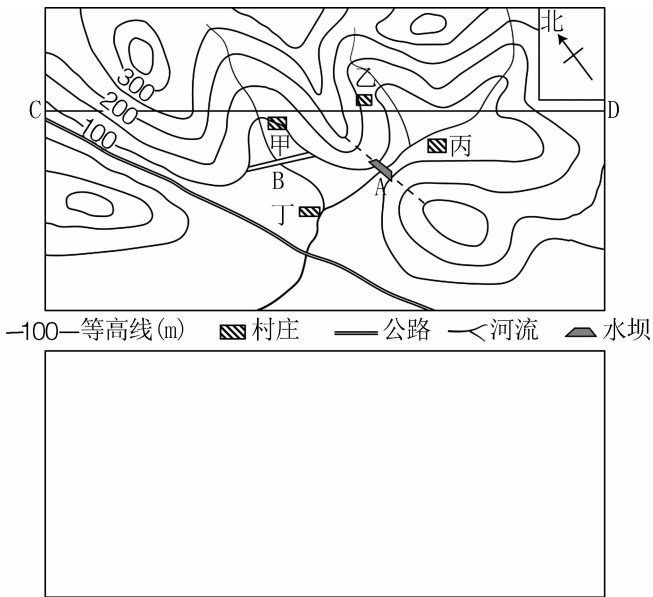
3. 图中所示区域村落的选址优势在于其所在地 ()

- A. 地势平坦
- B. 水源充足
- C. 气候温和
- D. 矿产丰富

4. (14分)[2024·云南昆明期中] 下图为我国某山区等高线示意图,该地以粮食、水果种植为主。据此完成下列要求。



(1)在下图中沿线段CD作出该地较精准的地形剖面图。(4分)

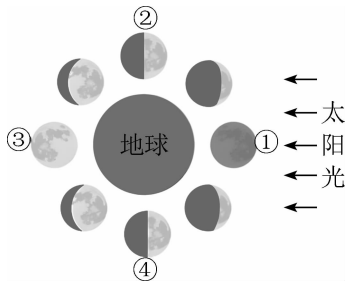


(2)该地计划修建一座水库,经勘测拟定A、B两处建设方案,简述最终水坝选址于A处的主要原因。(4分)

(3)在方案完善过程中,有专家提出将A处水坝扩建至图中虚线所示位置,请问是否合理?简述理由。(6分)



[2024·湖北宜荆随联考] 月球围绕地球运行的轨道是一个椭圆,因而地月距离不固定。当月相为下弦月时,月球运行至近地点附近,此时下弦月的视

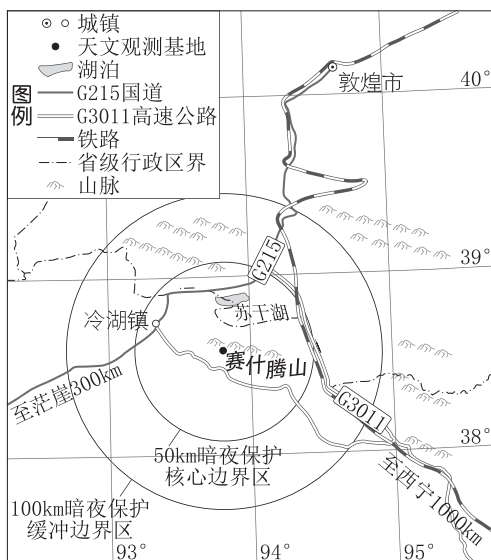


直径(天文学中常用视直径来计算星体的距离)大。右图示意月相变化。据此完成 1~3 题。

1. 图中表示下弦月的是 ()
A. ① B. ② C. ③ D. ④
2. 图中④所示月相出现时,伴随有 ()
A. 月面朝东 B. 月食
C. 日食 D. 大潮
3. 2023 年 4 月 13 日,迎来本年度最大下弦月,4 月 28 日可能出现 ()
A. 最小下弦月 B. 最小上弦月
C. 最大满月 D. 最大上弦月

4. (22 分)阅读图文材料,回答下列问题。

天文学是一门以观测为基础的自然学科。地基天文观测都是透过地球大气进行观测,要观测遥远暗弱的天体,需要大口径的天文望远镜和晴朗的夜空,最佳的台址是寸草不生的极端干旱区,且远离人造光源。2019 年前,世界顶级的天文望远镜均部署在西半球。如今,海拔 4200 米左右的赛什腾山(见下图)成为了我国乃至东半球唯一的大口径天文望远镜的“家”,年观测可用时间 300 天,吸引了国内十多家科研院所入驻。冷湖镇海拔 2733 米,辖区面积 1.8 万平方千米,人口约 2.4 万,距离赛什腾山 70 千米。冷湖地区大型天文台的建立,对世界天文学具有极为重要的价值。



(1)从自然条件分析极端干旱的地方为什么是大型顶级天文台选址的最佳选择。(6 分)

(2)从人文环境说明赛什腾山能被选择作为大型顶级天文观测基地的优势。(6 分)

(3)说出对赛什腾山天文观测影响最大的自然灾害及可能带来的影响。(6 分)

(4)说明赛什腾山大型天文观测基地建设对世界天文观测的价值。(4 分)